

УДК 539.3

**НЕСТАЦИОНАРНАЯ ДИФРАКЦИЯ УПРУГИХ ВОЛН НА
ЖЕСТКОМ ЭЛЛИПТИЧЕСКОМ ЦИЛИНДРЕ***Н. И. Александрова**Институт горного дела СО РАН,
630091 Новосибирск*

Задачам дифракции упругих и акустических волн на включениях, имеющих круговое сечение, посвящена обширная литература (см. обзоры [1–3]). Менее исследованы задачи взаимодействия упругих волн с протяженными включениями, имеющими эллиптическое поперечное сечение. Одним из подходов для решения данных задач является классический подход, основанный на методе разложения по собственным функциям. С использованием разложения по функциям Матье в [4–6] изучено рассеяние скалярных SH -волн на эллиптическом цилиндре. В случае дифракции P - и SV -волн, как отмечено в [3, 7, 8], векторное волновое уравнение не разделяется в эллиптических координатах с использованием функций Матье вследствие существования двух различных скоростей упругих волн. Поэтому в большинстве работ [7–16] применяются другие методы для решения задач с P - и SV -волнами. В [7, 8] решение строится на основе метода матриц рассеяния, в [9] — метода конечно-разностной аппроксимации контурных интегралов, в [10] решение ищется в виде потенциалов Папковича — Нейбера, в [11] используются методы теории функций комплексных переменных, а в [12, 13, 15] — метод ближних характеристик. В [14] задача решается с применением функций Матье. Получена бесконечная система уравнений для определения бесконечного числа неизвестных коэффициентов, которая решается численно.

Анализ литературы показывает, что большая часть работ посвящена исследованию дифракции гармонических и стационарных волн на эллиптических препятствиях [7–14]. Нестационарное взаимодействие продольных волн с эллиптической полостью изучается с помощью лучевых рядов Дебая в [16], где представлены численные результаты, полученные по упрощенной вычислительной схеме. Детальное исследование нестационарной дифракции плоских P - и SV -волн на эллиптических препятствиях отсутствует. Также отсутствуют простые аналитические оценки решения данных задач.

В настоящей работе предложен приближенный подход к разделению переменных в уравнениях линейной теории упругости в задаче с эллиптической границей при действии плоских упругих волн. Такой подход продемонстрирован при решении нестационарных задач дифракции упругих волн на жестком включении. Приближенно найдены асимптотические значения ($t \rightarrow \infty$, t — время) напряжений на поверхности цилиндра. Показано, что в частном случае кругового цилиндра этот подход приводит к точному решению задачи.

Постановка задачи. Исследуется задача о воздействии плоских P - и SV -волн на бесконечно длинный жесткий цилиндр, окруженный упругой средой. Цилиндр имеет эллиптическое поперечное сечение. Рассматривается плоская постановка — фронт падающей волны параллелен оси цилиндра. Направление движения падающей волны составляет угол θ с большой осью эллипса (рис. 1).

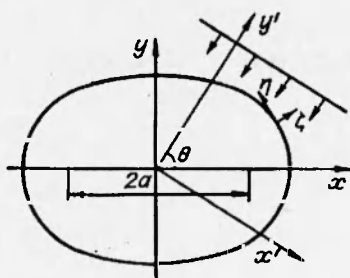


Рис. 1

В системе координат (x', y') , повернутой на угол $\theta - \pi/2$ относительно координат (x, y) , напряжения в падающей волне задаются следующим образом:

$$\begin{aligned} \sigma_{y'y'}^0 &= -\sigma_1 H_0(z_1), & \sigma_{x'x'}^0 &= \sigma_1 \varepsilon H_0(z_1), & \sigma_{x'y'}^0 &= -\sigma_2 H_0(z_2), \\ z_1 &= c_1 t - a_1 + y', & \varepsilon &= -\nu/(1 - \nu), \end{aligned} \quad (1)$$

где H_0 — единичная ступенчатая функция Хевисайда; σ_1, σ_2 — напряжения на фронте падающих продольной и сдвиговой волн соответственно; падающая волна распространяется в направлении y' ; ν — коэффициент Пуассона; c_1 — скорость волн расширения; c_2 — скорость волн сдвига; a_1 — большая полуось эллипса. Введем эллиптическую систему координат, связанную с цилиндром:

$$x = a \operatorname{ch} \zeta \cos \eta, \quad y = a \operatorname{sh} \zeta \sin \eta \quad (0 \leq \zeta < \infty, 0 \leq \eta \leq 2\pi)$$

($2a$ — расстояние между двумя фокусами эллипса). Поверхности цилиндра соответствует значение $\zeta = \zeta_0$. Движение упругой среды описывается двумерными волновыми уравнениями относительно скалярного φ и векторного ψ потенциалов смещений:

$$\frac{\partial^2 \varphi}{\partial t^2} = c_1^2 \Delta \varphi, \quad \frac{\partial^2 \psi}{\partial t^2} = c_2^2 \Delta \psi, \quad c_2^2 = \varepsilon c_1^2, \quad \varepsilon = (1 + \nu)/2 \quad (2)$$

(Δ — лапласиан). Потенциалы φ и ψ должны быть отличны от нуля в расширяющейся области, ограниченной фронтом возмущений, и равны нулю вне этой области.

В линейных задачах дифракции обычно используется разделение задачи на прямую и дополнительную: $Y^\Sigma = Y^0 + Y^1$ (Y^0 — компоненты напряжений и перемещений в падающей волне, а Y^1 соответствует отраженным и дифракционным волнам).

На поверхности жесткого цилиндра ставятся условия отсутствия перемещений

$$u_\zeta^0 + u_\zeta^1 = 0, \quad u_\eta^0 + u_\eta^1 = 0 \quad (\zeta = \zeta_0) \quad (3)$$

(u_ζ, u_η — нормальное и касательное перемещения). При $t = 0$ имеем нулевые начальные условия.

Для решения задачи применим преобразование Лапласа по времени с параметром p к уравнениям (2) и граничным условиям (3):

$$p^2 \varphi^{1L} = c_1^2 \Delta \varphi^{1L}, \quad p^2 \psi^{1L} = c_2^2 \Delta \psi^{1L}; \quad (4)$$

$$u_\zeta^{0L} + u_\zeta^{1L} = 0, \quad u_\eta^{0L} + u_\eta^{1L} = 0 \quad (\zeta = \zeta_0). \quad (5)$$

Поскольку уравнения (4) с условиями (5) в эллиптической системе координат не разделяются из-за существования двух скоростей распро-

странения возмущений [3], то от эллиптической системы координат (ζ, η) перейдем к цилиндрической системе координат (r, α) , которые связаны следующими соотношениями:

$$\begin{aligned} r^2 &= a^2(\text{sh}^2 \zeta + \cos^2 \eta), \\ \omega &= \text{ch} \zeta \cos \eta \cos \theta + \text{sh} \zeta \sin \eta \sin \theta = ra^{-1} \cos(\theta - \alpha). \end{aligned} \quad (6)$$

Связь напряжений и перемещений в различных системах координат имеет вид

$$\begin{aligned} \sigma_{\zeta\zeta} &= \sigma_{rr} \alpha_1^2 + \sigma_{\alpha\alpha} \beta_1^2 + 2\sigma_{r\alpha} \alpha_1 \beta_1, \\ \sigma_{\eta\eta} &= \sigma_{rr} \alpha_2^2 + \sigma_{\alpha\alpha} \beta_2^2 + 2\sigma_{r\alpha} \alpha_2 \beta_2, \\ \sigma_{\zeta\eta} &= \sigma_{rr} \alpha_1 \alpha_2 + \sigma_{\alpha\alpha} \beta_1 \beta_2 + \sigma_{r\alpha} (\alpha_1 \beta_2 + \alpha_2 \beta_1), \\ u_\zeta &= u_r \alpha_1 + u_\alpha \beta_1, \quad u_\eta = u_r \alpha_2 + u_\alpha \beta_2, \end{aligned} \quad (7)$$

где

$$\begin{aligned} \alpha_1 &= \beta_2 = J_{,\zeta} / \sqrt{J_0}; \quad \beta_1 = -\alpha_2 = J_{,\eta} / \sqrt{J_0}; \\ J &= a^2(\text{sh}^2 \zeta + \sin^2 \eta); \quad J_0 = J_{,\zeta}^2 + J_{,\eta}^2. \end{aligned}$$

Здесь и далее запятая в индексе означает дифференцирование по соответствующему аргументу. Выражение напряжений и перемещений через потенциалы φ и ψ в цилиндрической системе координат запишем как

$$\begin{aligned} \sigma_{rr} &= 2c_2^2 \rho [D_1(\varphi) + D_2(\psi)], \\ \sigma_{r\alpha} &= 2c_2^2 \rho [D_2(\varphi) - D_1(\psi)], \\ \sigma_{\alpha\alpha} &= 2c_2^2 \rho [D_3(\varphi) - D_2(\psi)], \\ u_r &= \varphi_{,r} + \psi_{,\alpha}/r, \quad u_\alpha = \varphi_{,\alpha}/r - \psi_{,r}, \end{aligned} \quad (8)$$

где ρ — плотность упругой среды; D_1, D_2, D_3 — операторы:

$$\begin{aligned} D_1(f_i) &= \frac{d_i}{2} \Delta f_i - \frac{1}{r} f_{i,r} - \frac{1}{r^2} f_{i,\alpha\alpha}, \quad D_2(f_i) = \frac{1}{r} f_{i,r\alpha} - \frac{1}{r^2} f_{i,\alpha}, \quad (i = 1, 2), \\ D_3(\varphi) &= -D_1(\varphi) + (1 - \varepsilon) \Delta \varphi / 2\alpha, \\ d_1 &= 1/\alpha, \quad d_2 = 1, \quad f_1 = \varphi, \quad f_2 = \psi. \end{aligned}$$

Подставляя (8) в (7), для напряжений и перемещений в эллиптической системе координат получим

$$\begin{aligned} \sigma_{\zeta\zeta} &= 2c_2^2 \rho [B_1(\varphi) + B_2(\psi)] / J_0, \quad \sigma_{\zeta\eta} = 2c_2^2 \rho [B_2(\varphi) - B_1(\psi)] / J_0, \\ \sigma_{\eta\eta} &= 2c_2^2 \rho [B_3(\varphi) - B_2(\psi)] / J_0, \\ u_\zeta &= [J_{,\zeta}(\varphi_{,r} + \psi_{,\alpha}/r) + J_{,\eta}(\varphi_{,\alpha}/r - \psi_{,r})] / \sqrt{J_0}, \\ u_\eta &= [J_{,\zeta}(\varphi_{,\alpha}/r - \psi_{,r}) - J_{,\eta}(\varphi_{,r} + \psi_{,\alpha}/r)] / \sqrt{J_0}. \end{aligned} \quad (9)$$

Здесь

$$\begin{aligned} B_1(f_i) &= bB_{11}(f_i) + dB_{12}(f_i); \quad B_2(f_i) = dB_{21}(f_i) - bB_{22}(f_i); \\ B_3(\varphi) &= -B_1(\varphi) + (1 - \varepsilon) J_0 \Delta \varphi / 2\alpha; \\ B_{11}(f_i) &= -\frac{b_i}{2b} \Delta f_i + \frac{1}{r} f_{i,r} + \frac{1}{r^2} f_{i,\alpha\alpha}; \end{aligned}$$

$$B_{21}(f_i) = -\frac{1}{2}\Delta f_i + \frac{1}{r}f_{i,r} + \frac{1}{r^2}f_{i,\alpha\alpha};$$

$$B_{22}(f_i) = B_{12}(f_i) = \frac{1}{r}f_{i,r\alpha} - \frac{1}{r^2}f_{i,\alpha};$$

$$b = J_{,\eta}^2 - J_{,\zeta}^2; \quad d = 2J_{,\eta}J_{,\zeta}; \quad b_1 = (\varepsilon J_{,\eta}^2 - J_{,\zeta}^2)/\varkappa; \quad b_2 = b.$$

Изображение потенциалов φ и ψ в падающей волне имеет вид

$$\begin{aligned} \varphi^{0L} &= -A_1\sigma_1 W_1/\rho p^3, & \psi^{0L} &= -A_2\sigma_2 W_2/\rho p^3, \\ W_i &= \exp(pa\omega/c_i), & A_i &= \exp(-pa_1/c_i). \end{aligned} \quad (10)$$

Разложим функции W_i в ряд по модифицированным функциям Бесселя [17]:

$$W_i = \sum_{n=0}^{\infty} e_n I_n(\delta_i) \cos n(\theta - \alpha), \quad (11)$$

$$e_n = 2 \quad (n > 0), \quad e_0 = 1, \quad \delta_i = rp/c_i.$$

Решение волновых уравнений (4) в цилиндрической системе координат с учетом отсутствия излучений на бесконечности представим как

$$\varphi^{1L} = \sum_{n=0}^{\infty} K_n(\delta_1) [C_{1n} \cos n(\theta - \alpha) + S_{1n} \sin n(\theta - \alpha)], \quad (12)$$

$$\psi^{1L} = \sum_{n=0}^{\infty} K_n(\delta_2) [C_{2n} \cos n(\theta - \alpha) + S_{2n} \sin n(\theta - \alpha)],$$

где K_n — функции Макдональда n -го порядка; $C_{1n}, C_{2n}, S_{1n}, S_{2n}$ — неизвестные коэффициенты.

Чтобы удовлетворить граничным условиям (5), подставим (9)–(12) в (5), получим систему двух линейных уравнений относительно коэффициентов $C_{1n}, C_{2n}, S_{1n}, S_{2n}$ ($n = 0, \dots, \infty$). Поскольку эта система справедлива для произвольного угла θ и функции \sin, \cos ортогональны на интервале $[0, 2\pi]$, то, следовательно, каждый множитель, стоящий при $\sin n\theta$ и $\cos n\theta$, должен быть равен нулю. В результате для каждого n имеем систему четырех уравнений относительно коэффициентов $C_{1n}, C_{2n}, S_{1n}, S_{2n}$:

$$\begin{cases} K_{n,1}n C_{1n} - K'_{n,2}\delta_2 S_{2n} = \gamma_{1n} I_{n,1}n, \\ K'_{n,1}\delta_1 C_{1n} - K_{n,2}n S_{2n} = \gamma_{1n} I'_{n,1}\delta_1, \\ K'_{n,1}\delta_1 S_{1n} + K_{n,2}n C_{2n} = \gamma_{2n} I_{n,2}n, \\ K_{n,1}n S_{1n} + K'_{n,2}\delta_2 C_{2n} = \gamma_{2n} I'_{n,2}\delta_2, \end{cases} \quad (13)$$

$$K_{n,i} = K_n(\delta_i), \quad I_{n,i} = I_n(\delta_i), \quad \gamma_{in} = A_i\sigma_i e_n/\rho p^3,$$

$$\delta_i = rp/c_i, \quad r = a\sqrt{\text{sh}^2 \zeta_0 + \cos^2 \eta}.$$

Здесь штрих означает дифференцирование по аргументу. Из (13) видно, что коэффициенты $C_{1n}, C_{2n}, S_{1n}, S_{2n}$ есть функции от α . Строго говоря, при этом формулы (12) не дают точного решения задачи (4)–(5). Однако, пренебрегая производными функций $C_{1n}, C_{2n}, S_{1n}, S_{2n}$ по α , можем считать, что формулы (12) с коэффициентами $C_{1n}, C_{2n}, S_{1n}, S_{2n}$, определенными из формул (13), задают приближенное решение краевой задачи (4), (5).

Решая систему уравнений (13) и подставляя ее решение в (12) и затем в (9), в результате ряда последовательных упрощений получим приближенное решение в изображениях для суммарных напряжений на поверхности жесткого эллиптического цилиндра:

$$\begin{aligned} \sigma_{\zeta\zeta}^{\Sigma L} &= \sum_{n=0}^{\infty} \sigma_{\zeta\zeta,n}^{\Sigma L}, \quad \sigma_{\zeta\eta}^{\Sigma L} = \sum_{n=0}^{\infty} \sigma_{\zeta\eta,n}^{\Sigma L}, \quad \sigma_{\eta\eta}^{\Sigma L} = \sum_{n=0}^{\infty} \sigma_{\eta\eta,n}^{\Sigma L}, \\ \sigma_{\zeta\zeta,n}^{\Sigma L} &= \frac{e_n}{J_0 \Omega_n p} [\cos n(\theta - \alpha) (-\sigma_1 A_1 \alpha b_1 \delta_2 K'_{n,2} - \sigma_2 A_2 d \delta_1 K'_{n,1}) + \\ &\quad + \sin n(\theta - \alpha) (-\sigma_1 A_1 d n K_{n,2} + \sigma_2 A_2 \alpha b_1 n K_{n,1})], \\ \sigma_{\zeta\eta,n}^{\Sigma L} &= \frac{z_n}{J_0 \Omega_n p} [\cos n(\theta - \alpha) (-\sigma_1 A_1 \alpha d \delta_2 K'_{n,2} + \sigma_2 A_2 b \delta_1 K'_{n,1}) + \\ &\quad + \sin n(\theta - \alpha) (\sigma_1 A_1 b n K_{n,2} + \sigma_2 A_2 \alpha d n K_{n,1})], \\ \sigma_{\eta\eta,n}^{\Sigma L} &= \frac{e_n(1 - \varepsilon)}{\Omega_n p} [\cos n(\theta - \alpha) \sigma_1 A_1 \delta_2 K'_{n,2} - \sin n(\theta - \alpha) \sigma_2 A_2 n K_{n,1}] - \sigma_{\zeta\zeta,n}^{\Sigma L}, \\ \Omega_n &= -K_{n,1} K_{n,2} n^2 + K'_{n,1} K'_{n,2} \delta_1 \delta_2. \end{aligned} \quad (14)$$

Обратить выражения (14) в явном виде не представляется возможным. Будем искать асимптотику напряжений на поверхности цилиндра при больших временах с начала процесса ($t \rightarrow \infty$), что соответствует $p \rightarrow 0$ в пространстве изображений. В [18] показано, что если асимптотика изображений при $p \rightarrow 0$ имеет особую точку алгебраически-логарифмического типа

$$f^L(p) \sim -p^k / \ln p \quad (k \neq 0, 1, 2, \dots),$$

то асимптотика оригинала при $t \rightarrow \infty$ имеет вид

$$f(t) \sim \frac{t^{-k-1}}{(-k-1)! \ln t}.$$

График функции $f(t)$ при $k = -2$ приведен на рис. 2.

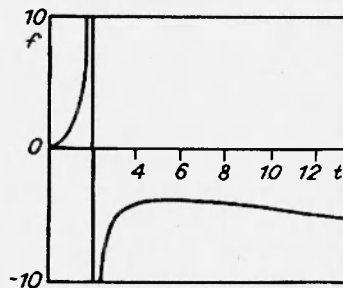


Рис. 2

Полагая p малым, оставим в разложениях функций Бесселя первые члены ряда. Используем при $n = 1$ асимптотику функции $f(t)$ при $k = -2$. В результате получим приближенное асимптотическое представление для суммарных напряжений на поверхности жесткого включения:

$$\begin{aligned} \sigma_{\zeta\zeta,0}^{\Sigma} &= (\sigma_1 b_1 \alpha + \sigma_2 d) / J_0, \quad \sigma_{\zeta\eta,0}^{\Sigma} = (\sigma_1 d \alpha - \sigma_2 b) / J_0, \\ \sigma_{\eta\eta,0}^{\Sigma} &= (\sigma_1 b_3 \alpha - \sigma_2 d) / J_0, \end{aligned}$$

$$\begin{aligned} \sigma_{\zeta\zeta,1}^{\Sigma} &= \frac{t}{\ln(t/\beta)} \frac{2c_2^2\delta}{J_0 r} [\cos(\vartheta - \alpha)(\sigma_1 b_1 \varkappa / c_1 + \sigma_2 d / c_2) + \\ &\quad + \sin(\theta - \alpha)(-\sigma_1 d / c_1 + \sigma_2 b_1 \varkappa / c_2)], \\ \sigma_{\zeta\eta,1}^{\Sigma} &= \frac{t}{\ln(t/\beta)} \frac{2c_2^2\delta}{J_0 r} [\cos(\vartheta - \alpha)(\sigma_1 d \varkappa / c_1 - \sigma_2 b / c_2) + \\ &\quad + \sin(\theta - \alpha)(\sigma_1 b / c_1 + \sigma_2 d \varkappa / c_2)], \\ \sigma_{\eta\eta,1}^{\Sigma} &= \frac{t}{\ln(t/\beta)} \frac{2c_2^2\delta}{J_0 r} [\cos(\vartheta - \alpha)(\sigma_1 b_3 \varkappa / c_1 - \sigma_2 d / c_2) + \\ &\quad + \sin(\theta - \alpha)(\sigma_1 d / c_1 + \sigma_2 b_3 \varkappa / c_2)], \end{aligned} \quad (15)$$

$$\sigma_{\zeta\zeta,2}^{\Sigma} = 2\delta [\cos 2(\theta - \alpha)(\sigma_1 b_1 \varkappa^2 + \sigma_2 d) + \sin 2(\theta - \alpha)(-\sigma_1 d + \sigma_2 b_1) \varkappa] / J_0,$$

$$\sigma_{\zeta\eta,2}^{\Sigma} = 2\delta [\cos 2(\theta - \alpha)(\sigma_1 d \varkappa^2 - \sigma_2 b) + \sin 2(\theta - \alpha)(\sigma_1 b + \sigma_2 d) \varkappa] / J_0,$$

$$\sigma_{\eta\eta,2}^{\Sigma} = 2\delta [\cos 2(\theta - \alpha)(\sigma_1 b_3 \varkappa^2 - \sigma_2 d) + \sin 2(\theta - \alpha)(\sigma_1 d + \sigma_2 b_3) \varkappa] / J_0,$$

$$\sigma_{\zeta\zeta,n}^{\Sigma} = 0, \quad \sigma_{\zeta\eta,n}^{\Sigma} = 0, \quad \sigma_{\eta\eta,n}^{\Sigma} = 0 \quad (n \geq 3),$$

$$\beta = \frac{a_1 C}{2c_1 \varkappa^{\delta/2}}, \quad \delta = \frac{1}{(1 + \varkappa)}, \quad b_3 = \frac{\varepsilon J_{\zeta}^2 - J_{\eta}^2}{\varkappa}$$

($C = 1,781072418 \dots$ — константа Эйлера [17]). Асимптотика напряжений в отраженных и дифракционных волнах имеет вид

$$\begin{aligned} \sigma_{\zeta\zeta,0}^1 &= -\sigma_{\eta\eta,0}^1 = (\sigma_1 b \varkappa + \sigma_2 d) / J_0, \quad \sigma_{\zeta\eta,0}^1 = (\sigma_1 d \varkappa - \sigma_2 b) / J_0, \\ \sigma_{\zeta\zeta,1}^1 - \bar{\sigma}_{\zeta\zeta,1}^{\Sigma}, \quad \bar{\sigma}_{\zeta\eta,1}^1 - \bar{\sigma}_{\zeta\eta,1}^{\Sigma}, \quad \bar{\sigma}_{\eta\eta,1}^1 - \bar{\sigma}_{\eta\eta,1}^{\Sigma}, \\ \sigma_{\zeta\zeta,2}^1 &= (\varkappa - 1)\delta [\cos 2(\theta - \alpha)(\sigma_1 b_4 \varkappa + \sigma_2 d) + \\ &\quad + \sin 2(\theta - \alpha)(\sigma_1 d \varkappa - \sigma_2 b_4)] / J_0, \\ \sigma_{\zeta\eta,2}^1 &= (\varkappa - 1)\delta [\cos 2(\theta - \alpha)(\sigma_1 d \varkappa + \sigma_2 b) + \\ &\quad + \sin 2(\theta - \alpha)(-\sigma_1 b \varkappa + \sigma_2 d)] / J_0, \quad (16) \\ \sigma_{\eta\eta,2}^1 &= (\varkappa - 1)\delta [\cos 2(\theta - \alpha)(\sigma_1 b_5 \varkappa + \sigma_2 d) + \\ &\quad + \sin 2(\theta - \alpha)(-\sigma_1 d \varkappa + \sigma_2 b_5)] / J_0, \end{aligned}$$

$$b_4 = J_{\zeta}^2 + 3J_{\eta}^2, \quad b_5 = 3J_{\zeta}^2 + J_{\eta}^2.$$

Рассмотрим частный случай. Пусть эллипс стремится к окружности ($a \rightarrow 0$, $\zeta_0 \rightarrow \infty$, $\text{ash } \zeta_0 \rightarrow R$, $\text{ach } \zeta_0 \rightarrow R$, R — радиус окружности). Тогда из (15) находим асимптотическое решение задачи дифракции упругих волн на жестком круговом цилиндре, совпадающее с [16]:

$$\begin{aligned} \sigma_{rr,0}^{\Sigma} &= -\sigma_1, \quad \sigma_{r\alpha,0}^{\Sigma} = \sigma_2, \quad \sigma_{\alpha\alpha,0}^{\Sigma} = -\varepsilon \sigma_{rr,0}^{\Sigma}, \\ \sigma_{rr,1}^{\Sigma} &= -\frac{t}{\ln(t/\beta)} \frac{2c_2^2\delta}{R} \left[\frac{\sigma_1}{c_1} \cos(\theta - \alpha) + \frac{\sigma_2}{c_2} \sin(\theta - \alpha) \right], \\ \sigma_{r\alpha,1}^{\Sigma} &= \frac{t}{\ln(t/\beta)} \frac{2c_2^2\delta}{R} \left[\frac{\sigma_2}{c_2} \cos(\theta - \alpha) - \frac{\sigma_1}{c_1} \sin(\theta - \alpha) \right], \end{aligned}$$

$$\begin{aligned}\sigma_{\alpha\alpha,1}^{\Sigma} &= -\varepsilon\sigma_{rr,1}^{\Sigma}, \\ \sigma_{rr,2}^{\Sigma} &= -2\delta[\sigma_1\alpha\cos 2(\theta - \alpha) + \sigma_2\sin 2(\theta - \alpha)], \\ \sigma_{r\alpha,2}^{\Sigma} &= 2\delta[\sigma_2\cos 2(\theta - \alpha) - \sigma_1\alpha\sin 2(\theta - \alpha)], \\ \sigma_{\alpha\alpha,2}^{\Sigma} &= -\varepsilon\sigma_{rr,2}^{\Sigma}.\end{aligned}$$

Перейдем к конечно-разностному решению. По аналогии с (12) разложим потенциалы в ряд Фурье по углу $(\theta - \alpha)$:

$$\begin{aligned}\varphi^1 &= \sum_{n=0}^{\infty} [\varphi_n^c \cos n(\theta - \alpha) + \varphi_n^s \sin n(\theta - \alpha)], \\ \psi^1 &= \sum_{n=0}^{\infty} [\psi_n^c \cos n(\theta - \alpha) + \psi_n^s \sin n(\theta - \alpha)].\end{aligned}\quad (17)$$

Тогда для каждого коэффициента ряда Фурье (17) имеем волновые уравнения

$$\begin{aligned}\frac{\partial^2 \varphi_n^{c,s}}{\partial t^2} &= c_1^2 \left(\frac{\partial^2 \varphi_n^{c,s}}{\partial r^2} + \frac{1}{r} \frac{\partial \varphi_n^{c,s}}{\partial r} - \frac{n^2}{r^2} \varphi_n^{c,s} \right), \\ \frac{\partial^2 \psi_n^{c,s}}{\partial t^2} &= c_2^2 \left(\frac{\partial^2 \psi_n^{c,s}}{\partial r^2} + \frac{1}{r} \frac{\partial \psi_n^{c,s}}{\partial r} - \frac{n^2}{r^2} \psi_n^{c,s} \right).\end{aligned}\quad (18)$$

Граничные условия (3) после разложения в ряд Фурье будут следующими:

$$\begin{aligned}\varphi_{n,r}^c &= J_0^{-1/2} (J_{,\eta} u_{\eta,n}^{0c} - J_{,\zeta} u_{\zeta,n}^{0c}) + n\psi_n^s/r, \\ \varphi_{n,r}^s &= J_0^{-1/2} (J_{,\eta} u_{\eta,n}^{0s} - J_{,\zeta} u_{\zeta,n}^{0s}) - n\psi_n^c/r, \\ \psi_{n,r}^c &= J_0^{-1/2} (J_{,\eta} u_{\zeta,n}^{0c} + J_{,\zeta} u_{\eta,n}^{0c}) - n\varphi_n^s/r, \\ \psi_{n,r}^s &= J_0^{-1/2} (J_{,\eta} u_{\zeta,n}^{0s} + J_{,\zeta} u_{\eta,n}^{0s}) + n\varphi_n^c/r \\ &\quad \left(r = a\sqrt{\operatorname{sh}^2 \zeta_0 + \cos^2 \eta} \right).\end{aligned}\quad (19)$$

Здесь $u_{\zeta,n}^{0s}$, $u_{\eta,n}^{0s}$, $u_{\zeta,n}^{0c}$, $u_{\eta,n}^{0c}$ — коэффициенты разложения в ряд Фурье перемещений в падающей волне.

Систему уравнений (18) с граничными условиями (19) решаем методом конечных разностей по явной схеме типа «крест». Шаги разностной сетки выбираем из условия устойчивости Куранта. Для того чтобы минимизировать численную дисперсию, полагаем $c_1\tau = h_\varphi$, $c_2\tau = h_\psi$, где τ — шаг по времени, h_φ , h_ψ — шаги по пространству соответственно для уравнений относительно скалярного и векторного потенциалов перемещений.

За единицы измерения расстояния, скорости и плотности приняты большая полуось эллипса ($a_1 = a\operatorname{ch} \zeta_0$), скорость распространения продольных волн c_1 и плотность упругой среды ρ .

На рис. 3–19 приведены графики распределения напряжений по углу η в момент времени $t = 10$, а также осциллограммы напряжений. Напряжения рассчитывались в отраженных и дифракционных волнах при $\theta = 0$, $\nu = 0,3$. Рассматривались различные соотношения осей эллипса: $a_2 = 0,1$;

0,5; 0,9 ($a_2 = a \operatorname{sh} \zeta_0$ — малая полуось эллипса). Сплошные кривые отвечают конечно-разностному решению, штриховые — асимптотическому решению (16).

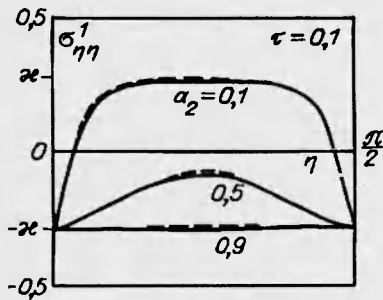


Рис. 3

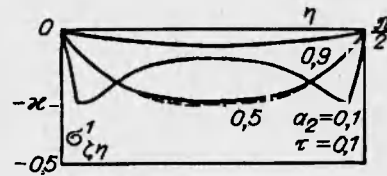


Рис. 4

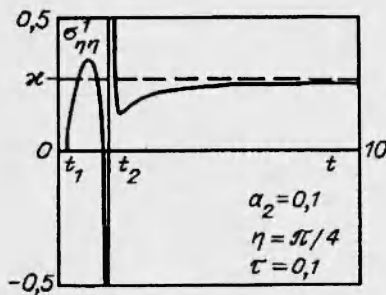


Рис. 5

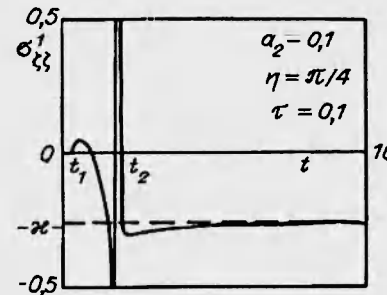


Рис. 6

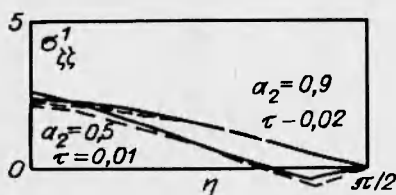


Рис. 7

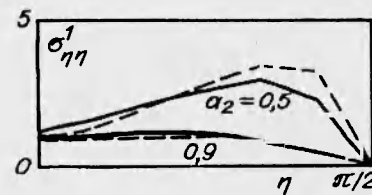


Рис. 8

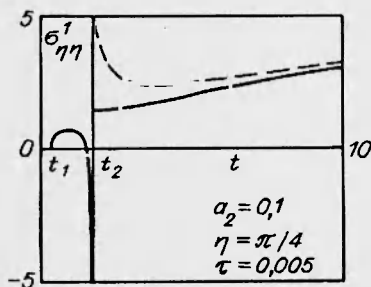


Рис. 9

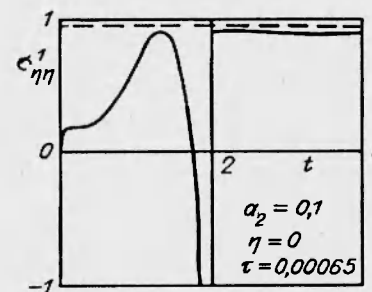


Рис. 10

На рис. 3–11 представлены графики напряжений, возникающих при действии продольной волны ($\sigma_1 = -1, \sigma_2 = 0$). Результаты расчетов при $n = 0$ приведены на рис. 3–6. Расчеты проводились при $\tau = 0,1$. Видно, что при $n = 0$, начиная с $t \geq 10$, напряжения с точностью до погрешностей

построения графиков совпадают с асимптотическим решением (16). Анализ формул (16) и рис. 3-6 показывают, что для падающей продольной волны выполняются следующие неравенства:

$$-\infty \leq \sigma_{\zeta\zeta}^1/\sigma_1 \leq \infty, \quad -\infty \leq \sigma_{\eta\eta}^1/\sigma_1 \leq \infty, \quad 0 \leq \sigma_{\zeta\eta}^1/\sigma_1 \leq \infty.$$

Рис. 7-9 иллюстрируют поведение напряжений при $n = 1$. Как показали расчеты, при $a_2 = 0,9$, начиная с $t \approx 5$, конечно-разностное решение и асимптотика совпадают. При уменьшении малой полуоси эллипса соответствие асимптотики и численного счета достигается позже. Так, при $a_2 = 0,1$ оно достигается уже для $t \approx 10$ (рис. 9). Чтобы достичь требуемой точности при конечно-разностном решении задачи, приходится значительно измельчать шаги разностной сетки при уменьшении a_2 . Если для $a_2 = 0,9$ достаточно полагать $\tau = 0,02$, то для $a_2 = 0,1$ шаг $\tau = 0,005$ уже не во всех точках по углу позволяет считать с приемлемой точностью.

Результаты расчетов при $n = 2$ представлены на рис. 10, 11. Из сопоставления асимптотического и численного решений видно, что при $t > 2$ значения напряжений остаются постоянными во времени и стремятся к асимптотическим значениям (16) при уменьшении шагов разностной сетки. Расчеты, проведенные при $n = 3; 4; 5$, показывают, что амплитуды возмущений близки к нулю при $t \approx 4$.

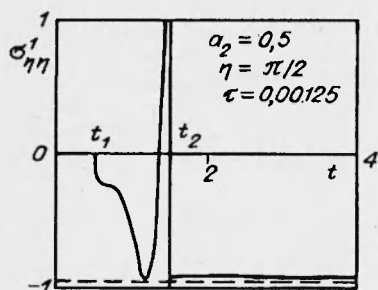


Рис. 11

На осциллограммах напряжений (рис. 5, 6, 9-11) время появления возмущений соответствует времени прихода в данную точку r осесимметричной продольной волны, начинающей двигаться при $t = 0$ от радиуса $r = a_1$ к центру эллипса. Это время определяется по формуле $t_1 = (a_1 - r)/c_1$. Время, где заканчиваются острые всплески возмущений, отвечает приходу «отраженной от центра» осесимметричной волны и определяется по формуле $t_2 = (a_1 + r)/c_1$.

На рис. 12-19 приведены напряжения, рассчитанные при действии сдвиговой волны ($\sigma_1 = 0, \sigma_2 = -1$), на рис. 12-14 представлена нулевая форма, на рис. 15-17 — первая форма, а на рис. 18, 19 — вторая форма. Так же как и при действии продольной волны, осциллограммы напряжений при $t \approx 10/c_1$ практически совпадают с асимптотическим решением для $n = 0; 1; 2$. Время появления на осциллограммах возмущений и время, когда заканчиваются острые всплески возмущений, определяется по аналогичным случаю продольной волны формулам, в которых вместо c_1 стоит c_2 :

$$t_1 = (a_1 - r)/c_2, \quad t_2 = (a_1 + r)/c_2.$$

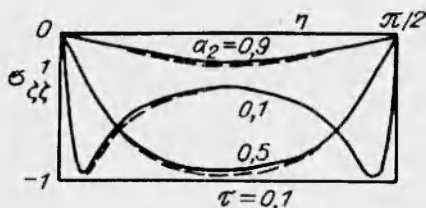


Рис. 12

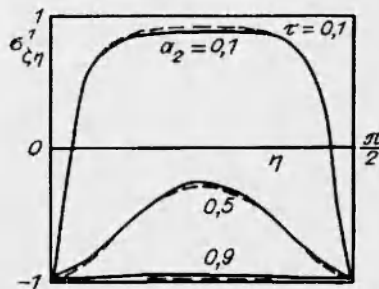


Рис. 13

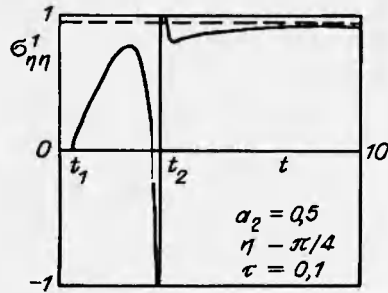


Рис. 14

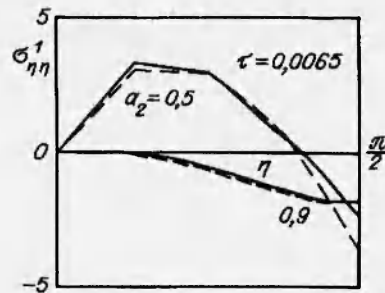


Рис. 15

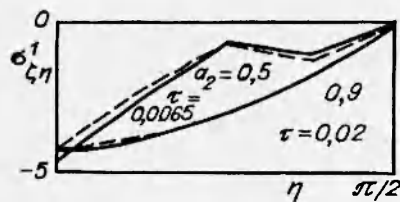


Рис. 16

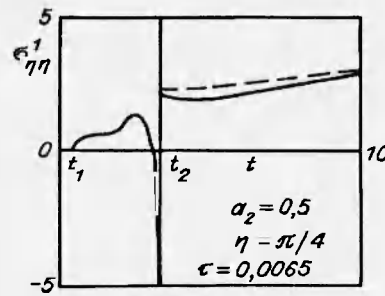


Рис. 17

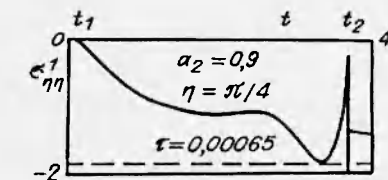


Рис. 18

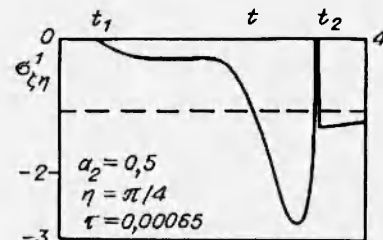


Рис. 19

Таким образом, сравнение численного и аналитического решений показывает, что при $t \approx 10/c_1$ параметры возмущений с большой точностью совпадают с асимптотическим решением (16).

ЛИТЕРАТУРА

1. Гузь А. Н., Кубенко В. Д., Черевко М. А. Дифракция упругих волн // Прикл. механика. 1978. Т. 14, № 8. С. 3-15.
2. Горшков А. Г. Дифракция слабых ударных волн на деформируемых телах, погруженных в жидкость // Прикл. механика. 1980. Т. 16, № 5. С. 3-11.
3. Pao Y. H., Mow C. C. The diffraction of elastic waves and dynamic stress concentrations. N. Y., 1973.
4. Morse P. M., Rubenstein P. J. The diffraction of waves by ribbons and slits // Phys. Rev. 1938. V. 54, N 1. P. 895-898.
5. Burke J. E., Twersky V. In scattering of semielliptic protuberance on a ground plane // J. Opt. Soc. Amer. 1964. V. 54, N 6. P. 732-744.
6. Baracat R. Diffraction of a plane waves by an elliptic cylinder // J. Acoust. Soc. Amer. 1963. V. 35, N 12. P. 1990-1996.
7. Varatharajulu V. V., Pao Y. H. Scattering matrix for elastic waves. I. Theory // J. Acoust. Soc. Amer. 1976. V. 60, N 3. P. 556-567.

8. **Varadan V. V.** Scattering matrix for elastic waves. II. Application to elliptic cylinders // *J. Acoust. Soc. Amer.* 1978. V. 63, N 4. P. 1014-1024.
9. **Банаф Р. П., Голдсмит В.** Дифракция стационарных упругих волн на препятствиях произвольной формы // *Тр. Амер. о-ва инж.-мех. Прикл. механика: Пер. журн. Trans. ASME. J. Appl. Mech.* 1963. Т. 30, № 4. С. 126-134.
10. **Vaidyanathan S., Kouris D.** Effect of an elliptical inhomogeneous inclusion with a slipping interface on the elastic field of a concentrated moment // *Trans. ASME. J. Appl. Mech.* 1992. V. 59. P. 780-782.
11. **Warren W.** The edge dislocation inside an elliptical inclusion // *Mech. Mat.* 1989. V. 2. P. 319-330.
12. **Сорока П. Н.** Отражение плоской гармонической упругой волны от выпуклой некруговой цилиндрической полости // *Прикл. механика.* 1988. Т. 24, № 2. С. 83-89.
13. **Рубцов Ю. К., Сорока П. Н.** Распространение высокочастотных гармонических упругих волн от осесимметричной полости // *Теорет. и прикл. механика: Респ. межвед. науч.-техн. сб. Киев-Донецк, 1987. Вып. 18. С. 87-95.*
14. **Синяев А. Я., Кальц А. Л.** Исследование концентраций динамических напряжений в среде с эллиптической неоднородностью // *Результаты комплексных исследований в сейсмоактивных районах Казахстана. Алма-Ата, 1984. С. 171-179.*
15. **Рубцов Ю. К.** Отражение плоской ступенчатой волны сжатия от выпуклой цилиндрической полости // *Прикл. механика.* 1986. Т. 22, № 4. С. 26-33.
16. **Пинчукова Н. И.** Нестационарная дифракция упругой волны на жестком цилиндре // *Физ.-техн. пробл. разработки полезн. ископаемых.* 1986. № 3. С. 81-84.
17. **Янке Е., Эмде Ф., Леш.** Специальные функции. М.: Наука, 1971.
18. **Слепян Л. И.** Нестационарные упругие волны. Л.: Судостроение, 1972.

Поступила в редакцию 18/X 1994 г.
